



БИООРГАНИЧЕСКАЯ ХИМИЯ

том 15 * №10* 1989

УДК 577.112.5:591.145.2

АМИНОКИСЛОТНАЯ ПОСЛЕДОВАТЕЛЬНОСТЬ НЕЙРОТОКСИНА I ИЗ АКТИНИИ *RADIANTHUS MACRODACTYLUS*

Зыкова Т. А., Козловская Э. П.

Тихоокеанский институт биоорганической химии ДВО Академии наук
СССР, Владивосток

Установлена аминокислотная последовательность нейротоксина I из морской актинии *Radianthus macrodactylus*, состоящего из 48 аминокислотных остатков, в том числе шести остатков цистеина. Для установления структуры исследовались пептиды, полученные в результате гидролиза токсина трипсином и химотрипсином.

Анемонотоксины модифицируют свойства натриевых каналов электровозбудимых мембран, участвующих в генерации потенциала действия в нерве, сердце, скелетных мышцах [1, 2]. Поэтому они являются прекрасным инструментом исследования молекулярной организации и механизмов функционирования ионных каналов.

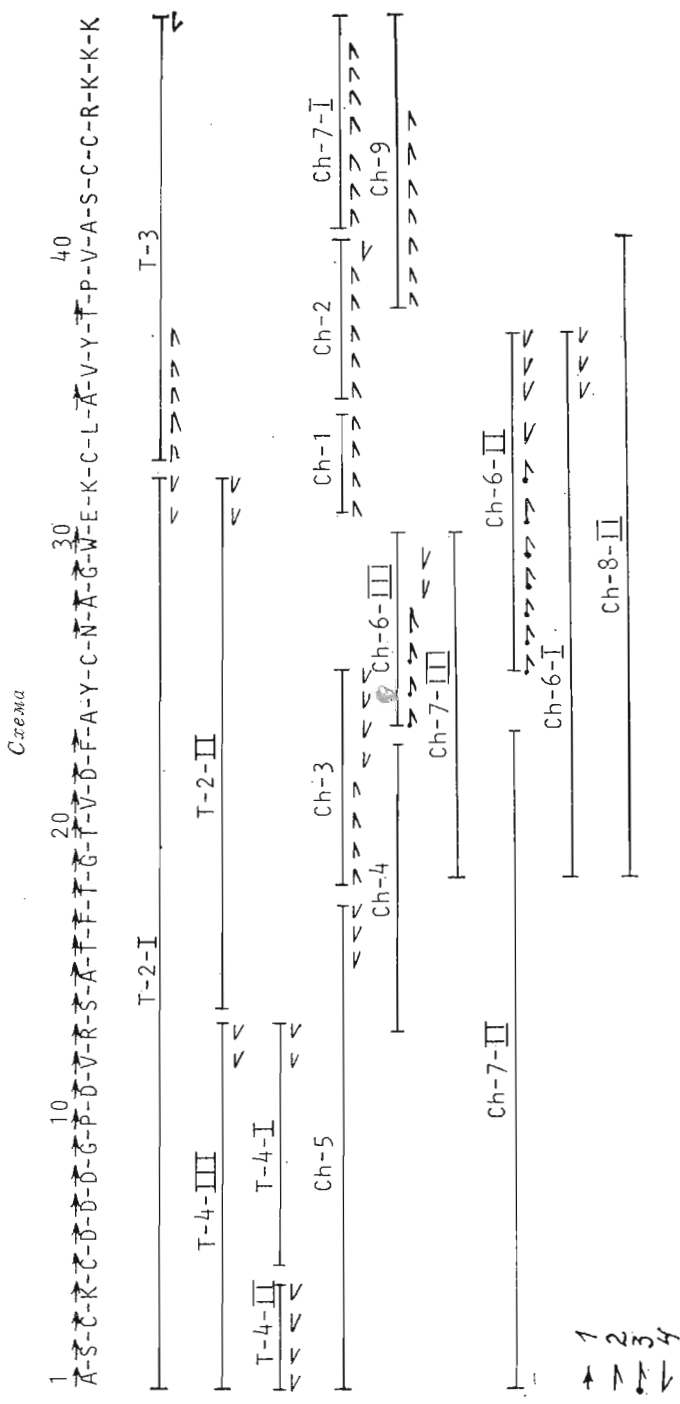
Из морской актинии *Radianthus macrodactylus* выделены пять нейротоксинов (RTX-I–RTX-V) [3], для четырех из них установлена полная аминокислотная последовательность [4–6]. Показано, что RTX-токсины образуют новый структурный класс анемонотоксинов [3, 6].

Настоящая работа посвящена установлению аминокислотной последовательности пятого токсина *Radianthus* – RTX-I ($LD_{50}=3600$ мкг/кг). Токсин выделен по методу [3], и его гомогенность доказана анализом N-концевой аминокислотной последовательности. Аминокислотный состав токсина представлен в табл. 1. N-Концевой аминокислотой является аланин, C-концевой – лизин. Дисульфидные связи RTX-I восстанавливали β -меркаптоэтанолом с последующей модификацией сульфгидрильных групп моноиодуксусной кислотой. Карбоксиметилированный токсин (СМ-токсин) обессоливали на иодилхроме I.

Таблица 1
Аминокислотный состав СМ-RTX-I и пептидов, полученных при гидролизе
трипсином (T)

| Аминокислота | RTX-I | T-3 | T-4-I | T-4-II | T-4-III | T-2-I | T-2-II |
|---------------------|--------|--------|--------|--------|---------|--------|--------|
| Cys(Cm) | 5,7(6) | 3,2(3) | 0,9(1) | 0,9(1) | 2,1(2) | 3,1(3) | 1,2(1) |
| Asx | 5,9(6) | | 3,8(4) | | 4,0(4) | 5,8(6) | 1,7(2) |
| Thr | 4,2(4) | 1,2(1) | | | | 2,8(3) | 3,1(3) |
| Ser | 3,1(3) | 1,0(1) | | 1,1(1) | 1,1(1) | 2,1(2) | 0,8(1) |
| Glx | 0,8(1) | | | | | 1,1(1) | 1,2(1) |
| Pro | 2,2(2) | 1,2(1) | 1,0(1) | | 1,2(1) | 1,2(1) | |
| Gly | 3,4(3) | | 1,2(1) | | 1,3(1) | 3,2(3) | 2,2(2) |
| Ala | 5,7(6) | 2,2(2) | | 1,2(1) | 0,9(1) | 3,8(4) | 3,1(3) |
| Val | 4,2(4) | 2,2(2) | 1,2(1) | | 1,2(1) | 1,7(2) | 0,9(1) |
| Phe | 2,2(2) | | | | | 2,1(2) | 2,0(2) |
| Leu | 0,9(1) | 1,1(1) | | | | | |
| Tyr | 2,3(2) | 1,2(1) | | | | 1,2(1) | 1,2(1) |
| Lys | 5,2(5) | 2,7(3) | | 1,2(1) | 0,9(1) | 2,0(2) | 0,9(1) |
| Arg | 2,1(2) | 1,2(1) | 1,0(1) | | 1,1(1) | 1,2(1) | |
| Trp * | 1 | | | | | + | + |
| N-Концевая | Ala | Cys | Cys | Ala | Ala | Ala | Ser |
| Количество остатков | 48 | 16 | 9 | 4 | 13 | 32 | 19 |

* Триптофан в RTX-I определяли методом УФ-спектроскопии, в остальных случаях — качественной реакцией по Эрлиху.



Аминокислотная последовательность нейротоксина I, определенная автоматическим жидкокфазным методом Эдмана (1), ручным методом Эдмана в дансильном варианте (2) и с идентификацией фенилиогидантиновых производных (3), карбоксимептидазой Y (4). Показаны пептиды триптического (T) и химотриптического (Ch) гидролизов

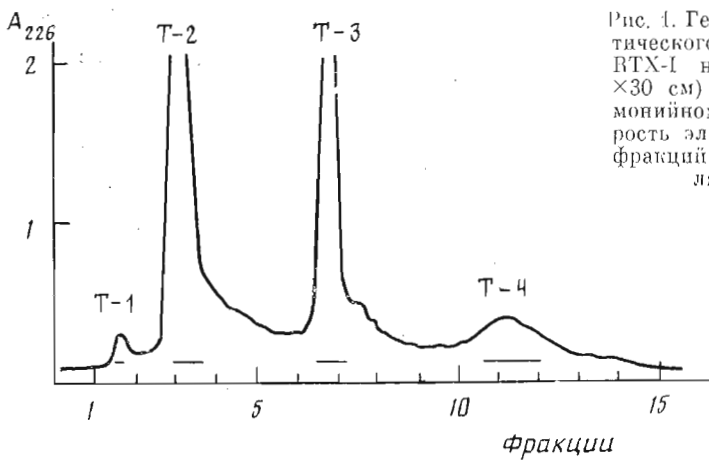


Рис. 1. Гель-фильтрация триптического гидролизата CM-RTX-I на биогеле P-4 ($0,5 \times 30$ см) в 0,05 М ацетат-аммонийном буфере, pH 7,6. Скорость элюции 12 мл/ч. Объем фракций 5 мл. Отмечены выделяемые фракции

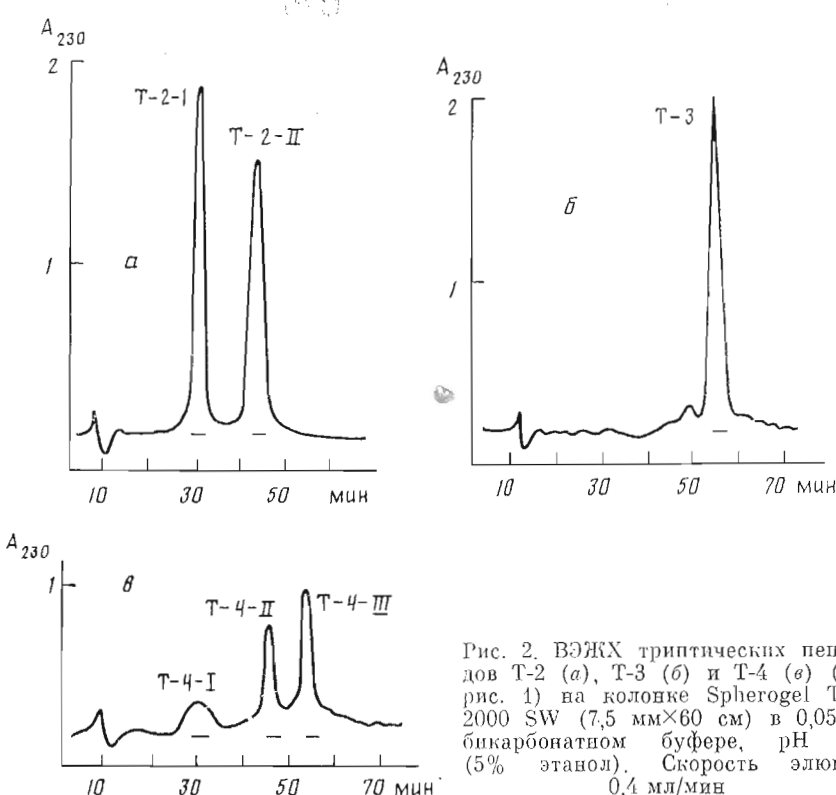


Рис. 2. ВЭЖХ триптических пептидов T-2 (а), T-3 (б) и T-4 (в) (см. рис. 1) на колонке SpheroGel TSK 2000 SW (7,5 мм \times 60 см) в 0,05 М бикарбонатном буфере, pH 7,6 (5% этанол). Скорость элюции 0,4 мл/мин

N-Концевая аминокислотная последовательность установлена автоматическим жидкостным методом Эдмана. В результате 40 циклов автоматической деградации определены последовательности 23 N-концевых аминокислот и остатки в положениях 27, 28, 29, 30, 35 и 38 (схема).

По данным аминокислотного анализа, белок содержит два остатка аргинина и пять остатков лизина. При гель-фильтрации продуктов расщепления карбоксиметилированного токсина (CM-RTX-I) трипсином на биогеле P-4 было получено четыре пептидных фрагмента (рис. 1). Фракция T-4 представляет собой недогидролизованный CM-RTX-I. Фракции T-2, T-3, T-4 были хроматографированы ВЭЖХ на колонке SpheroGel TSK 2000 SW (рис. 2).

Для выделенных триптических пептидов с помощью карбоксипептидазы Y была определена частичная C-концевая последовательность, для T-3—частичная N-концевая последовательность. Положение T-пептидов в полипептидной цепи молекулы установлено на основании данных N-конце-

Таблица 2

Аминокислотный состав пептидов, полученных при гидролизе СМ-RTX-I химотрипсином (Ch)

| Аминокислота | Ch-1 | Ch-2 | Ch-3 | Ch-4 | Ch-5 |
|---------------------|--------|--------|--------|--------|--------|
| Cys(Cm) | 0,9(1) | | 0,9(1) | 1,1(1) | 1,7(2) |
| Asx | | | | | 3,7(4) |
| Thr | | 1,1(1) | 2,2(2) | 2,7(3) | 1,1(1) |
| Ser | | | | 1,1(1) | 2,2(2) |
| Glx | 1,1(1) | | | | |
| Pro | | 0,9(1) | | | 1,2(1) |
| Gly | | | 1,3(1) | 4,2(1) | 1,1(1) |
| Ala | | 1,3(1) | 1,1(1) | 1,0(1) | 2,1(2) |
| Val | | 2,1(2) | 1,2(1) | 0,9(1) | 1,1(1) |
| Leu | 0,8(1) | | | | |
| Tyr | | 1,1(1) | 0,9(1) | | |
| Phe | | | 1,2(1) | 2,1(2) | 1,2(1) |
| Lys | 1,2(1) | | | | 1,1(1) |
| Arg | | | | 0,9(1) | 1,0(1) |
| Trp | | | | | |
| N-Концевая | Glu | Ala | Thr | Arg | Ala |
| Количество остатков | 4 | 6 | 8 | 11 | 17 |

| Амино-кислота | Ch-9 | Ch-6-I | Ch-6-II | Ch-6-III | Ch-7-I | Ch-7-II | Ch-7-III | Ch-8-II |
|---------------------|--------|--------|---------|----------|--------|---------|----------|---------|
| Cys(Cm) | 2,2(2) | 2,1(2) | 2,2(2) | 1,2(1) | 2,2(2) | 2,1(2) | 0,9(1) | 2,1(2) |
| Asx | | 2,2(2) | 1,2(1) | 0,9(1) | | 4,6(5) | 2,1(2) | 1,8(2) |
| Thr | 1,2(1) | 2,1(2) | | | | 2,7(3) | 2,1(2) | 2,8(3) |
| Ser | 1,1(1) | | | | 1,2(1) | 2,2(2) | | |
| Glx | | 1,2(1) | 0,9(1) | | | | | 1,2(1) |
| Pro | 0,9(1) | | | | | 0,9(1) | | 1,1(1) |
| Gly | | 2,1(2) | 1,2(1) | 1,1(1) | | 2,1(2) | 2,2(2) | 2,1(2) |
| Ala | 1,2(1) | 2,7(3) | 1,7(2) | 2,2(2) | 0,8(1) | 2,2(2) | 2,1(2) | 3,2(3) |
| Val | 0,9(1) | 2,2(2) | 0,9(1) | | | 1,8(2) | 0,9(1) | 2,8(3) |
| Leu | | 0,9(1) | 1,0(1) | | | | | 1,1(1) |
| Tyr | | 2,1(2) | 1,2(1) | 1,2(1) | | | 0,9(1) | 2,2(2) |
| Phe | | 0,9(1) | | | | 2,2(2) | 1,2(1) | 0,9(1) |
| Lys | 3,1(3) | 4,1(1) | 0,9(1) | | 3,2(3) | 0,9(1) | | 1,2(1) |
| Arg | 1,2(1) | | | | 1,1(1) | 1,2(1) | | |
| Trp * | | + | + | + | | | + | + |
| N-Концевая | Thr | Thr | Cys | Ala | Ala | Ala | Thr | Thr |
| Количество остатков | 11 | 20 | 12 | 7 | 8 | 23 | 13 | 23 |

* Триптофан определяли качественной реакцией по Эрлиху.

вого анализа, аминокислотного состава (табл. 1) и N-концевой аминокислотной последовательности (схема).

Информация о структуре триптических пептидов и аминокислотного состава RTX-I позволяла предполагать, что при гидролизе токсина химотрипсином будут получены достаточно короткие пептидные фрагменты, удобные для определения аминокислотной последовательности ручным методом Эдмана и карбоксимептидазой Y. Продукты химотриптического гидролиза были разделены ВЭЖХ на колонке Ultrasphere ODS (рис. 3). Из полученных фракций отбирали пробы для определения N-концевого аминокислотного остатка. Для гомогенных по N-концу пептидов (Ch-1, Ch-2, Ch-3, Ch-5 и Ch-9) после анализа аминокислотного состава была определена

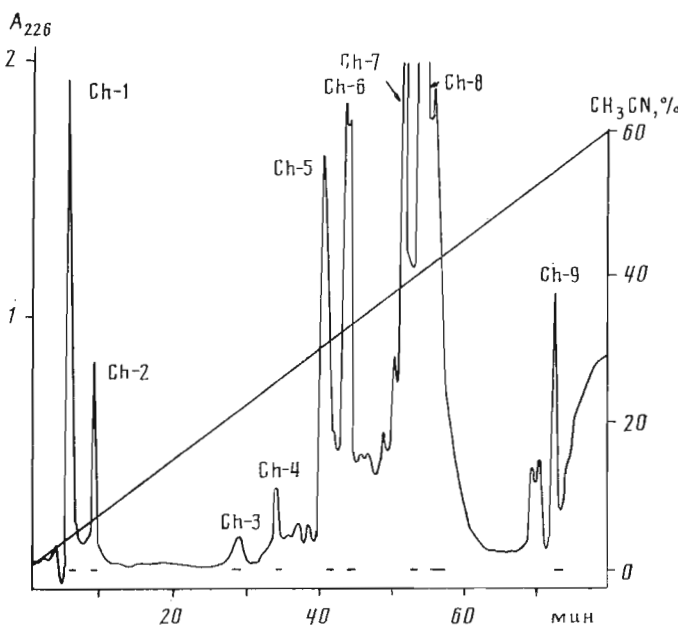


Рис. 3. ВЭЖХ пептидов химотриптического гидролиза СМ-RTX-I на колонке Ultrasphere ODS ($4,6 \times 250$ мм) в 0,1% трифторуксусной кислоте в градиенте концентрации ацетонитрила (0–60% за 80 мин). Скорость элюции 1 мл/мин. Отмечены выделяемые фракции

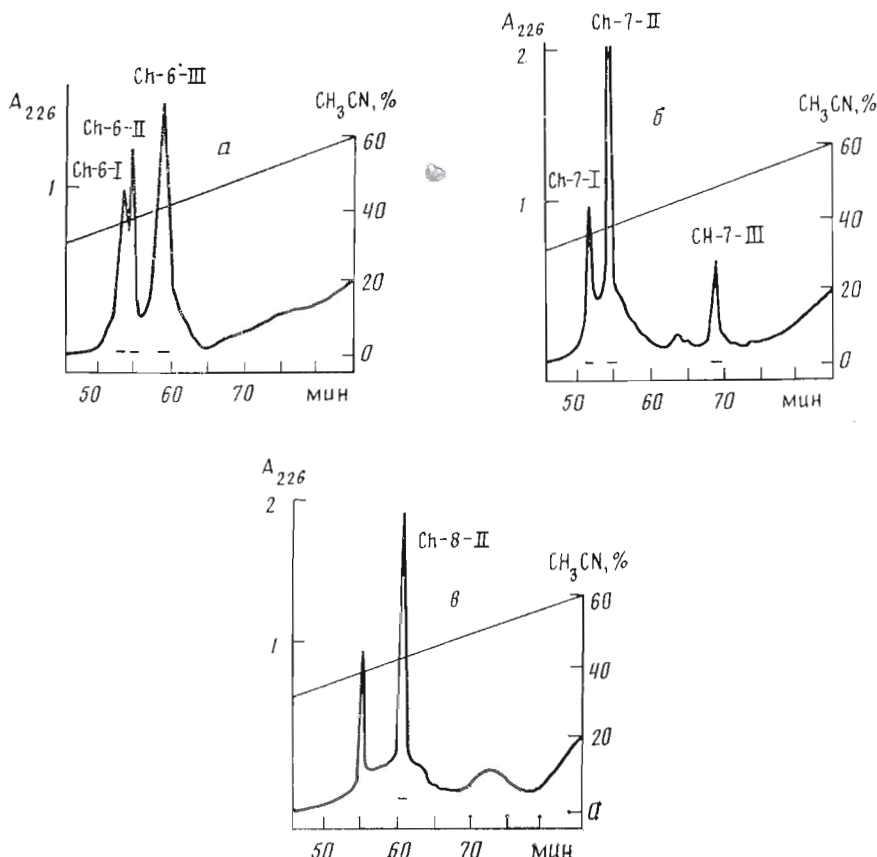


Рис. 4. ВЭЖХ химотриптических пептидов Ch-6 (a), Ch-7 (б), Ch-8 (в) на колонке Zorbax ODS ($4,6 \times 250$ мм) в 0,1% трифторуксусной кислоте в градиенте концентрации ацетонитрила (0–60% за 80 мин). Скорость элюции 1 мл/мин

на частичная или полная аминокислотная последовательность (схема). Пептид Ch-1 перекрыл триптические пептиды T-2-I и T-3.

После ВЭЖХ негомогенных пептидов Ch-6, Ch-7 и Ch-8 на колонке Zorbax ODS (рис. 4) фракции анализировали на N-конец и аминокислотный состав (табл. 2). Структура пептидов, необходимая для получения перекрытий, была определена частично или полностью (см. схему).

Таким образом, исследование структуры пептидов, полученных в результате расщепления токсина I трипсином и химотрипсином, позволило установить его полную аминокислотную последовательность (схема). Полипептидная цепь нейротоксина I состоит из 48 аминокислотных остатков, в состав которых входят шесть остатков цистеина. C-Концевая последовательность -Lys-Lys-Lys выведена на основании данных аминокислотного состава RTX-I, пептидов T-3, Ch-9 и Ch-7-I.

Экспериментальная часть

В работе использовали трипсин и химотрипсин (Worthington, США), реактивы для автоматического метода Эдмана (Beckman, США), β -меркаптоэтанол (Serva, ФРГ), полихром I (г. Олайне, СССР), 5-диметиламино-нафталин-1-сульфонилхлорид (Serva, ФРГ), карбоксипептидазу Y (Sigma, США). Все остальные реактивы имели квалификацию ос. ч.

Методы определения аминокислотного состава, аминокислотной последовательности автоматическим жидкокфазным методом, ручным методом в дансильном варианте и с идентификацией фенилтиогидантиновых производных, ферментативного гидролиза белков, содержания ароматических аминокислот описаны ранее [4, 6].

Высокоэффективная жидкостная хроматография. Триптические пептиды CM-RTX-I хроматографировали на колонке SpheroGel TSK 2000 SW (7,5 мм×60 см) в 0,05 М бикарбонатном буфере, pH 7,6 (5% этанол). Скорость элюции 0,4 мл/мин.

Химотриптические пептиды CM-RTX-I разделяли на колонке Ultrasphere ODS (4,6×250 мм) или Zorbax ODS (4,6×250 мм) в 0,1% трифторуксусной кислоте в градиенте концентраций ацетонитрила (0–60%) за 80 мин. Скорость элюции 1 мл/мин.

Авторы выражают глубокую благодарность за техническую помощь при установлении аминокислотной последовательности автоматическим методом А. С. Корнееву (Институт биоорганической химии АН УзССР, Ташкент).

СПИСОК ЛИТЕРАТУРЫ

1. Alsen C. // Fed. Proc. 1983. V. 42. № 1. P. 101–108.
2. Erxleben C., Rathmayer W. // Toxicon. 1984. V. 22: № 3. P. 387–399.
3. Зыкова Т. А. Исследование первичной структуры биологически активных пептидов актинии *Radianthus macrodactylus*: Дис. ... канд. хим. наук. Владивосток: ТИБОХ, 1986.
4. Зыкова Т. А., Винокуров Л. М., Козловская Э. П., Еляков Г. Б. // Биоорган. химия. 1985. Т. 11. № 3. С. 302–310.
5. Зыкова Т. А., Козловская Э. П., Еляков Г. Б. // Биоорган. химия. 1988. Т. 14. № 7. С. 878–882.
6. Зыкова Т. А., Козловская Э. П., Еляков Г. Б. // Биоорган. химия. 1988. Т. 14. № 11. С. 1489–1494.

Поступила в редакцию
15.II.1989

AMINO ACID SEQUENCE OF NEUROTOXIN I FROM THE SEA ANEMONE *RADIANTHUS MACRODACTYLUS*

ZYKOVA T. A., KOZLOVSKAYA E. P.

*Pacific Institute of Bioorganic Chemistry, Far-East Branch,
Academy of Sciences of the USSR, Vladivostok*

Amino acid sequence of neurotoxin I isolated from the anemone *Radianthus macrodactylus*, and consisted of 48 amino acid residues, including six cysteines, was determined by analysis of products of its trypsin and chymotrypsin digestion.